

12 **DEMANDE DE BREVET D'INVENTION**

**A1**

22 Date de dépôt : 22.08.03.

30 Priorité :

43 Date de mise à la disposition du public de la demande : 25.02.05 Bulletin 05/08.

56 Liste des documents cités dans le rapport de recherche préliminaire : *Se reporter à la fin du présent fascicule*

60 Références à d'autres documents nationaux apparentés :

71 Demandeur(s) : *SNECMA MOTEURS Société anonyme — FR.*

72 Inventeur(s) : VARY FLORIAN NICOLAS.

73 Titulaire(s) :

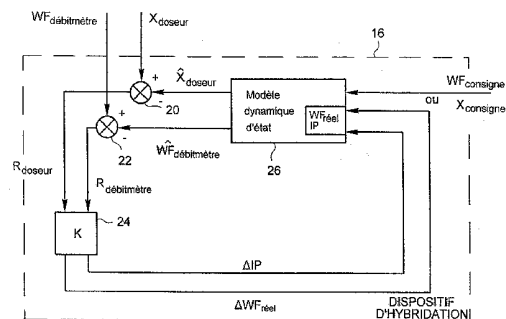
74 Mandataire(s) : CABINET NETTER.

54 **DISPOSITIF POUR L'ESTIMATION DU DEBIT MASSIQUE DE CARBURANT.**

57 L'invention concerne un dispositif de détermination d'une mesure de débit massique de fluide pour chambre de combustion comprenant un doseur de fluide et un moyen de mesure de la position du doseur dite mesurée. Ce dispositif comprend

- un débitmètre massique,
- un dispositif d'hybridation pour déterminer un débit massique de fluide réel comprenant:
  - une première entrée comprenant une valeur de consigne (WFconsigne, Xconsigne),
  - un module de prédiction (26) apte à déterminer, à partir de la première entrée et de variables d'état comprenant le débit massique réel (WFréal) et des incertitudes paramétriques (IP), des valeurs estimées ( $\hat{W}F_{\text{débitmètre}}$ ,  $\hat{X}_{\text{doseur}}$ ),
  - une deuxième entrée comprenant la position du doseur mesurée (Xdoseur) et le débit massique de fluide mesuré (WFdébitmètre),
  - un calculateur de résidus (30, 22, 20) pour déterminer un résidu (Rdoseur) entre la position du doseur mesurée et la position du doseur estimée et un résidu (Rdébitmètre) entre le débit massique de fluide mesuré et le débit massique de fluide estimé,
  - un module de correction (24) pour déterminer, à partir des premier et deuxième résidus, des corrections à appli-

quer sur les variables d'état (WFréal, IP).



## Dispositif pour l'estimation du débit massique de carburant

- 5 L'invention concerne le domaine des turboréacteur, et plus particulièrement celui de l'estimation du débit massique de carburant injecté dans la chambre de combustion du turboréacteur.

10 Dans le cas de turboréacteurs d'avion, il est crucial de déterminer avec précision le débit massique de carburant injecté dans la chambre de combustion du turboréacteur. En effet, l'estimation du débit massique permet de calculer le débit massique de carburant réduit ainsi que la richesse du mélange air/kérosène. Plus cette estimation du débit massique est précise, plus le calcul du débit massique de carburant réduit ainsi que la richesse du mélange air/kérosène est précis. Les butées d'accélération et de décélération étant généralement  
15 exprimées en fonction du débit massique de carburant réduit, le manque de précision sur le calcul de ce débit diminue les performances du moteur. De plus, le contrôle des émissions polluantes nécessitant la connaissance de la richesse du mélange air/kérosène de la chambre, le manque de précision sur le calcul de cette richesse diminue la qualité de ce contrôle. De manière générale, l'estimation du débit massique de carburant injecté permet le contrôle du  
20 moteur.

Actuellement, il est connu d'estimer de deux façon différentes le débit massique de carburant injecté dans la chambre de combustion. Le débit massique de carburant injecté peut être mesuré à partir de la mesure de la position du doseur carburant et d'une loi associée.  
25 Toutefois, la mesure étant un signal aléatoire, le débit massique calculé est bruité. De plus, la loi liant la position du doseur avec le débit massique qui le traverse comprend des incertitudes paramétriques. Ces incertitudes sont dues notamment à la variabilité de la densité et de la viscosité du carburant, aux tolérances de fabrication sur les caractéristiques géométriques du doseur, à la précision de l'asservissement hydro-mécanique du différentiel  
30 de pression à travers le doseur et à celle de l'asservissement électro-mécanique de la position du tiroir du doseur.

Le débit massique de carburant injecté peut être également mesuré à partir de la mesure du débit massique par un débitmètre classique. Toutefois, la dynamique d'un débitmètre  
35 massique est trop médiocre pour qu'il soit utilisé pour le contrôle du moteur.

La présente invention vient améliorer la situation.

L'invention concerne un dispositif de détermination d'une mesure de débit massique de fluide pour chambre de combustion comprenant un doseur de fluide et un moyen de mesure de la position du doseur dite mesurée.

- 5 Selon une caractéristique de l'invention, le dispositif de détermination d'une mesure de débit massique de fluide pour chambre de combustion comprend :
- un débitmètre massique pour mesurer un débit massique de fluide dit mesuré,
  - un dispositif d'hybridation apte à déterminer un débit massique de fluide réel comprenant:
    - 10 - une première entrée comprenant une valeur de consigne du débit massique demandé ou une valeur de consigne de la position du doseur demandée,
    - un module de prédiction apte à déterminer, à partir de la première entrée et de variables d'état comprenant le débit massique réel et des incertitudes paramétriques, des valeurs estimées comprenant la position estimée du doseur et le débit massique estimé,
    - 15 - une deuxième entrée comprenant la position du doseur mesurée et le débit massique de fluide mesuré,
    - un calculateur de résidus apte à déterminer un premier résidu entre la position du doseur mesurée et la position du doseur estimée et un deuxième résidu entre le débit massique de fluide mesuré et le débit massique de fluide estimé,
    - 20 - un module de correction apte à déterminer, à partir des premier et deuxième résidus, des corrections propres à être appliquées par le module d'estimation sur les variables d'état.

- L'invention concerne également un procédé de détermination d'une mesure de débit
- 25 massique de fluide pour chambre de combustion comprenant les étapes consistant à
- a- entrer une valeur de consigne du débit massique demandé ou une valeur de consigne de la position du doseur demandée, et des variables d'état comprenant le débit massique réel et des incertitudes paramétriques,
  - b- déterminer, à partir de l'étape a-, des valeurs estimées comprenant la position estimée du
  - 30 doseur de fluide et le débit massique estimé,
  - c- mesurer le débit massique de fluide à partir d'un débitmètre massique et la position du doseur de fluide,
  - d- calculer un premier résidu entre la position du doseur mesurée et la position du doseur estimée et un deuxième résidu entre le débit massique de fluide mesuré et le débit massique
  - 35 de fluide estimé,
  - e- calculer, à partir des premier et deuxième résidus, des corrections et appliquer ces dernières aux variables d'état.

Les figures ci-après illustrent de manière non limitative des modes de réalisation de l'invention :

- la figure 1 représente schématiquement un turboréacteur en coupe selon son axe de rotation,

- la figure 2 représente le dispositif de mesure du débit massique selon l'invention,

5

- la figure 3 représente le dispositif d'hybridation compris dans le dispositif de mesure de la figure 2,

10

- la figure 4 représente partiellement le dispositif d'hybridation de la figure 2 selon une première variante de réalisation de l'invention,

- la figure 5 représente le dispositif d'hybridation de la figure 2 selon une deuxième variante de réalisation selon l'invention,

15

- la figure 6 représente le procédé de détermination du débit massique du fluide selon l'invention.

L'annexe A comprend les différentes équations mathématiques utilisées par le dispositif selon l'invention ainsi que les notations et la significations des grandeurs d'état utilisées.

20

Les dessins et les annexes contiennent, pour l'essentiel, des éléments de caractère certain. Ils pourront donc non seulement servir à mieux faire comprendre la description, mais aussi contribuer à la définition de l'invention, le cas échéant.

25

La figure 1 représente un turboréacteur en coupe selon son axe de rotation A. Les différentes parties du turboréacteur sont séparées par des traits tiretés. Le turboréacteur comprend une entrée d'air 1 suivie du compresseur 2 adapté pour comprimer l'air entré dans le compresseur, une chambre de combustion 3 dans laquelle est injecté du kérosène qui se mélange avec l'air comprimé sortant du compresseur, une turbine 4 et une tuyère 5. Un turboréacteur peut

30

comprendre d'autres chambres de combustion, par exemple, une chambre de post-combustion non représentée. Le terme "chambre de combustion" sera employé de manière non limitative à un type de chambre de combustion ci-après.

35

Dans un tel turboréacteur, il est important de connaître le débit massique de carburant injecté dans la chambre de combustion. En effet, l'estimation du débit massique permet de calculer le débit massique de carburant réduit ainsi que la richesse du mélange air/kérosène. Plus cette estimation du débit massique est précise, plus le calcul du débit massique de carburant réduit ainsi que la richesse du mélange air/kérosène est précis. Les butées d'accélération et de décélération étant généralement exprimées en fonction du débit massique de carburant

réduit, le manque de précision sur le calcul de ce débit diminue les performances du moteur. De plus, le contrôle des émissions polluantes nécessitant la connaissance de la richesse du mélange air/kérosène de la chambre, le manque de précision sur le calcul de cette richesse diminue la qualité de ce contrôle. De manière générale, l'estimation du débit massique de carburant injecté permet le contrôle du moteur.

Actuellement et comme indiqué précédemment, il est connu d'estimer de deux façon différentes le débit massique de carburant injecté dans la chambre de combustion. Toutefois, aucune de ces détermination du débit n'est satisfaisante en terme de précision ou de dynamique.

Selon l'invention, la figure 2 présente le dispositif de mesure du débit massique de fluide, en particulier du carburant dans le cas présent. Un réservoir 11 de carburant alimente la chambre de combustion du turboréacteur 10. Cette alimentation en carburant est contrôlée par un doseur 12 comprenant un tiroir. Le doseur comprend un moyen de mesure de la position de ce tiroir. Dans le reste de la description, la position du tiroir du doseur est aussi appelée la position du doseur. Un débitmètre massique 14 permet une mesure directe du débit massique du carburant avant son injection dans la chambre de combustion 2 du turboréacteur 10. La mesure de la position du doseur  $X_{\text{doseur}}$  et la mesure directe du débit massique  $WF_{\text{débitmètre}}$  sont reçues en entrée par le dispositif d'hybridation 16 selon l'invention permettant de déterminer le débit massique de carburant injecté dans la chambre de combustion de façon précise. La position du débitmètre massique 14 peut être soit en amont soit en aval du doseur 12 par rapport à la distribution de carburant dans la chambre de combustion.

Le dispositif d'hybridation 16 du dispositif de mesure du débit massique du carburant est plus particulièrement détaillé sur la figure 3.

Ce dispositif d'hybridation 16 comprend une première entrée U (annexe A10) consistant en une valeur de consigne  $WF_{\text{consigne}}$  du débit massique de carburant demandé ou  $X_{\text{consigne}}$  de la position doseur demandée. Le dispositif d'hybridation comprend également un module de prédiction 26 permettant de déterminer, à partir de l'entrée U, une sortie Y (annexe A9) comprenant une position estimée du doseur  $\hat{X}_{\text{doseur}}$  et un débit massique  $\hat{WF}_{\text{débitmètre}}$  estimé. Cette détermination s'effectue par un modèle d'état dynamique comprenant comme variables d'état sous forme d'un vecteur d'état Z : le débit massique réel  $WF_{\text{réel}}$  et un vecteur d'incertitudes paramétrique IP de dimension quelconque. Les incertitudes paramétriques comprennent celles inhérentes à la relation liant la position du doseur au débit massique qui le traverse. Ces incertitudes paramétriques sont introduites par les facteurs suivants :

- la variabilité de la densité et de la viscosité du carburant, essentiellement inhérents au processus de la distillation fractionnée du pétrole, mais également dépendant de la température,
  - les tolérances de fabrication sur les caractéristiques géométriques des éléments du circuit carburant dont principalement celles du doseur,
  - la précision et la qualité de l'asservissement hydro-mécanique du différentiel de pression à travers le doseur,
  - la précision de l'asservissement électro-mécanique de la position du tiroir du doseur.
- 10 Le module de prédiction peut comprendre à titre d'exemple un modèle d'état dynamique comme indiqué en A11. Le module de prédiction permet ainsi de calculer par itération les sorties Y en fonction des variables d'état, elles-mêmes fonction des entrées U. Ce modèle peut être un modèle d'état linéaire du premier ordre dans lequel
- le vecteur de variables d'état Z à l'itération n+1 dépend du vecteur de variables d'état Z à l'itération n, du vecteur d'entrée U à l'itération n, de la matrice d'état F,
  - le vecteur de sortie Y à l'itération n+1 dépend du vecteur de variables d'état Z à l'itération n, de la matrice de sortie H.

Plus généralement, le modèle d'état dynamique peut être stationnaire lorsque les matrices F et H sont fixes ou instationnaire lorsque les matrices F et H dépendent des entrées comme WFconsigne ou Xconsigne dans l'exemple A11.

La mesure de la position du doseur  $X_{\text{doseur}}$  et la mesure du débit massique  $WF_{\text{débitmètre}}$ , effectuées respectivement par le moyen de mesure de la position du doseur et le débitmètre massique, sont reçues par le dispositif d'hybridation en entrée. Un calculateur de résidus 20, 22 permet de déterminer la différence entre le débit massique du carburant mesuré  $WF_{\text{débitmètre}}$  et le débit massique du fluide estimé  $\hat{WF}_{\text{débitmètre}}$ , cette différence étant appelée résidu du débitmètre  $R_{\text{débitmètre}}$  tel qu'indiqué en annexe A2. Le calculateur de résidu permet également de déterminer un deuxième résidu entre la position du doseur mesurée  $X_{\text{doseur}}$  et la position du doseur estimée  $\hat{X}_{\text{doseur}}$ , cette différence étant appelée résidu du doseur tel qu'indiqué en annexe A1. Le vecteur résidu est alors tel que défini en A6.

Le dispositif d'hybridation comprend également un module de correction 24 qui permet le calcul, à partir du vecteur résidu R tel qu'indiqué en annexe A3, du vecteur de correction C composé de la correction  $\Delta WF_{\text{réel}}$  et de la correction  $\Delta IP$ , cette dernière correspondant à un vecteur de correction du vecteur des incertitudes paramétriques IP. Ce vecteur de correction C est le résultat de la multiplication d'une matrice de gains de correction K dont les coefficients peuvent être variables ou fixes. Le calcul de ce vecteur de correction C selon l'annexe A3 permet la correction des variables d'état correspondant au débit massique réel

$WF_{réel}$  et aux incertitudes paramétriques IP (vecteur des incertitudes paramétriques) telle que définie en annexes A4 et A5. Ainsi, avant chaque calcul itératif d'estimation par le module de prédiction 26, les variables d'états sont corrigées à l'aide du vecteur de correction C.

- 5 De manière avantageuse, la combinaison des mesures faites à partir du doseur et du débitmètre massique et le traitement de telles mesures par le dispositif d'hybridation permet d'obtenir des évaluations de débit massique précises et selon une dynamique adaptée au contrôle du moteur. Avantageusement, ce traitement des mesures est effectué de manière itérative de manière à affiner le résultat du débit massique obtenu.

10

D'autres réalisations possibles selon l'invention sont détaillées sur les figures 4 et 5.

- La figure 4 représente en détail l'amélioration du module de prédiction 26 de la figure 3. Ce module de prédiction présente une entrée supplémentaire correspondant à une mesure de la température du carburant. Cette mesure est effectuée par un moyen de mesure de température connu. La connaissance de la température du carburant désensibilise les incertitudes paramétriques IP utilisées par le module de prédiction 26 vis à vis des variations de cette même température.
- 15

- La figure 5 représente le dispositif d'hybridation de la figure 3 selon un troisième mode de réalisation. Les sorties du module de prédiction 26 comprennent, en plus de la position estimée du doseur et du débit massique estimé, la valeur estimée du différentiel de pression à travers le doseur de carburant  $\hat{\delta P}_{mesure}$ . L'obtention de cette valeur estimée par le module de prédiction 26 est détaillé ci-après. Une mesure du différentiel de pression à travers le doseur de fluide est également effectuée puis transmise au dispositif d'hybridation 16.
- 20
- Le calculateur de résidu 20, 22, 30 permet de déterminer la différence entre le différentiel de pression mesurée et le différentiel de pression estimée, cette différence étant appelée le résidu du différentiel de pression  $R_{\delta p}$ . Le vecteur résidu R comprend, en plus des composantes définies en A6, le résidu du différentiel de pression  $R_{\delta p}$ . Les corrections  $\Delta WF_{réel}$ ,  $\Delta IP$  sont calculées après multiplication de la matrice de gain de correction K et du vecteur de résidu R.
- 25
- 30

Bien évidemment, la réalisation de la figure 3 peut comprendre les variantes de la figure 4 et de la figure 5.

- 35 Afin d'obtenir une estimation optimale du débit massique de carburant, la matrice de gain de correction K peut également correspondre aux gains d'un filtre de Kalman. Les coefficients de cette matrice sont alors variables à chaque nouvelle itération n de l'évaluation du débit massique. En annexe A7, il est détaillé le filtre de Kalman récursif. La signification des variables du filtre est indiquée en annexe. Il est notamment utilisé les matrices de

covariance du bruit d'état Q et de covariance du bruit de mesure R. En A8, le vecteur d'état Z du filtre comprend comme composantes les variables d'état du module de prédiction 26. En A9, le vecteur Y des sorties estimées du module de prédiction 26 comprend comme composantes la position estimée du doseur ( $\hat{X}_{\text{doseur}}$ ) et un débit massique  $\hat{WF}_{\text{débitmètre}}$  estimé.

- 5 Dans une réalisation de l'invention, elle peut également comprendre la valeur estimée du différentiel de pression à travers le doseur de carburant  $\hat{\delta P}_{\text{mesure}}$ . En A10, le vecteur d'entrée U comprend la valeur de consigne du débit massique demandée  $WF_{\text{consigne}}$  ou de la position du doseur demandée  $X_{\text{doseur}}$ .
- 10 Il est connu que la précision d'un débitmètre massique est fonction du débit qui le traverse. En général, cette précision est plus élevée à fort débit qu'à faible débit. Ainsi, le module de correction 24 est propre à adapter directement ou indirectement les coefficients de la matrice de gain de correction K en fonction de la valeur du débit massique mesurée par le débitmètre massique. Ainsi, le module de correction est apte à modifier les coefficients de la matrice de
- 15 gain de correction K afin de donner un importance relative variable entre la mesure de la position du doseur  $X_{\text{doseur}}$  et la mesure du débitmètre massique  $WF_{\text{débitmètre}}$  dans le calcul de l'estimation du débit massique réel  $WF_{\text{réel}}$ . Il est ainsi possible de déterminer une adaptation continue du module de correction 24 sur toute la plage de fonctionnement en débit de carburant. Cette adaptation du gain de K peut être réalisée par une loi ou par une
- 20 modification des matrices de covariance Q et R.

La figure 6 illustre le procédé de détermination du débit massique du carburant tel que réalisé par le dispositif illustré sur la figure 3.

- 25 A l'étape 52, la valeur de consigne du débit massique du carburant demandée ou la valeur de consigne de la position du doseur demandée est reçue en entrée du dispositif d'hybridation. Le module de prédiction utilise un modèle basé sur les variables d'état de débit massique réel et d'incertitudes paramétriques pour déterminer, à partir de la valeur de consigne du débit massique demandée  $WF_{\text{consigne}}$  ou de la position du doseur demandée
- 30  $X_{\text{doseur}}$ , la position estimée du doseur  $\hat{X}_{\text{doseur}}$  et le débit massique estimé  $\hat{WF}_{\text{débitmètre}}$  à l'étape 53. A l'étape 54, les valeurs du débit massique du carburant et de la position du doseur sont mesurées et reçues en entrée par le dispositif d'hybridation de manière à calculer, à l'étape 55, le vecteur résidu comprenant le résidu du doseur et le résidu du débitmètre. A l'étape 56, la matrice de gain de correction K est déterminée. Les coefficients de celle-ci peuvent être
- 35 fixes ou variables. Dans le dernier cas, K peut être calculée par une loi fonction du débit massique de consigne  $WF_{\text{consigne}}$ , mesuré  $WF_{\text{débitmètre}}$  ou réel  $WF_{\text{réel}}$  ou fonction de la position du doseur de consigne  $X_{\text{consigne}}$ , la position du doseur mesurée  $X_{\text{doseur}}$  ou la position du doseur réelle  $X_{\text{réel}}$ . K peut également être calculée à partir des relations récursives A7. A partir de ce vecteur de résidu et de la matrice de gain de correction K, le

vecteur de correction  $C$  est calculé à l'étape 57, ces corrections étant appliquées au débit massique réel  $WF_{\text{réel}}$  et aux incertitudes paramétriques  $IP$  à l'étape 57. Le procédé peut alors recommencer à l'étape 52 de manière à affiner la détermination du débit massique réel  $WF_{\text{réel}}$ . Ainsi, au fur et à mesure des itérations de ce procédé, toutes les données variables sont

5 recalculées et affinées, par exemple les incertitudes paramétriques sont affinées et permettent de déterminer plus précisément les valeurs estimées du débit massique du carburant et de la position du doseur, valeurs comparées aux valeurs mesurées telles que décrites précédemment.

- 10 L'invention ne se limite pas non plus aux modes de réalisation décrits ci-avant, seulement à titre d'exemple, mais elle englobe toutes les variantes que pourra envisager l'homme de l'art dans le cadre des revendications ci-après.

Annexe A

$$A1- R_{doseur} = X_{doseur} - \hat{X}_{doseur}$$

5

$$A2- R_{débitmètre} = WF_{débitmètre} - \hat{WF}_{débitmètre}$$

10

$$A3- C = K \times R \quad C = \begin{bmatrix} \Delta WF_{réel} \\ \Delta IP \end{bmatrix} \quad R = \begin{bmatrix} R_{doseur} \\ R_{débitmètre} \end{bmatrix}$$

$$A4- WF_{réel} = WF_{réel} + \Delta WF_{réel}$$

15

$$A5- IP = IP + \Delta IP$$

20

$$A6- R = \begin{bmatrix} R_{doseur} = X_{doseur} - \hat{X}_{doseur} \\ R_{débitmètre} = WF_{débitmètre} - \hat{WF}_{débitmètre} \end{bmatrix}$$

A7-

$$P_{n+1/n} = F \cdot P_{n/n} \cdot F^T + Q$$

$$K_{n+1} = P_{n+1/n} \cdot H^T (H \cdot P_{n+1/n} \cdot H^T + R)^{-1}$$

$$P_{n+1/n+1} = P_{n+1/n} - K_{n+1} \cdot H \cdot P_{n+1/n}$$

25

$$A8- Z = \begin{bmatrix} WFréal \\ IP \end{bmatrix}$$

A9-

$$Y = \begin{bmatrix} \hat{WF}_{débitmètre} \\ \hat{X}_{doseur} \end{bmatrix}$$

A10-  $U = [WF_{consigne} \text{ ou } X_{consigne}]$

$$A11- \begin{aligned} Z_{n+1} &= F \cdot Z_n + U_n \\ Y_{n+1} &= H \cdot Z_n \end{aligned}$$

A12- Notations

5	Xconsigne:	Position doseur demandée
	WFconsigne :	Débit massique de carburant demandé
	WFréel :	Débit massique réellement délivré par le système de dosage
	WFdébitmètre :	Débit massique mesuré par le débitmètre
10	^WFdébitmètre :	Débit massique estimé
	ΔWFréel :	Correction du débit massique réel
	Xdoseur :	Position mesurée du tiroir du doseur
	^Xdoseur :	Position estimée du tiroir du doseur
	Rdébitmètre :	Résidu du débit massique
15	Rdoseur :	Résidu de la position du tiroir du doseur
	IP :	Vecteur des incertitudes paramétriques
	ΔIP :	Vecteur correction du vecteur des incertitudes paramétriques
	K :	Matrice gain de correction
	Z :	vecteur d'état du filtre
20	Y :	vecteur des sorties estimées
	U :	vecteur des entrées de consigne
	H :	matrice de sortie
	F :	matrice d'état
	Q :	matrice de covariance du bruit d'état
25	v :	bruit d'état
	R :	matrice de covariance du bruit de mesure
	w :	bruit de mesure

## Revendications

1. Dispositif de détermination d'une mesure de débit massique de fluide pour chambre de combustion comprenant un doseur de fluide et un moyen de mesure de la position du doseur dite mesurée,
- 5 caractérisé en ce qu'il comprend
- un débitmètre massique pour mesurer un débit massique de fluide dit mesuré,
  - un dispositif d'hybridation apte à déterminer un débit massique de fluide réel comprenant:
    - 10 - une première entrée comprenant une valeur de consigne ( $WF_{\text{consigne}}$ ) du débit massique demandé ou une valeur de consigne ( $X_{\text{consigne}}$ ) de la position du doseur demandée,
    - un module de prédiction (26) apte à déterminer, à partir de la première entrée et de variables d'état comprenant le débit massique réel ( $WF_{\text{réel}}$ ) et des incertitudes paramétriques (IP), des valeurs estimées comprenant la position estimée du doseur ( $\hat{X}_{\text{doseur}}$ ) et le débit massique ( $\hat{WF}_{\text{débitmètre}}$ ) estimé,
    - 15 - une deuxième entrée comprenant la position du doseur mesurée ( $X_{\text{doseur}}$ ) et le débit massique de fluide mesuré ( $WF_{\text{débitmètre}}$ ),
    - un calculateur de résidus (30, 22, 20) apte à déterminer un premier résidu ( $R_{\text{doseur}}$ ) entre la position du doseur mesurée et la position du doseur estimée et un deuxième résidu ( $R_{\text{débitmètre}}$ ) entre le débit massique de fluide mesuré et le débit massique de fluide estimé,
    - 20 - un module de correction (24) apte à déterminer, à partir des premier et deuxième résidus, des corrections propres à être appliquées par le module d'estimation sur les variables d'état ( $WF_{\text{réel}}$ , IP).
- 25
2. Dispositif selon la revendication 1, caractérisé en ce que le module de prédiction (26) comprend un modèle dynamique à état liant la première entrée avec les variables d'état et les valeurs estimées.
- 30
3. Dispositif selon l'une des revendications 1 et 2, caractérisé en ce que le module de correction (24) comprend une matrice de gain de correction dont les coefficients sont fixes.
4. Dispositif selon l'une des revendications 1 et 2, caractérisé en ce que le module de correction (24) comprend une matrice de gain de correction dont les coefficients sont
- 35 variables.

5. Dispositif selon la revendication 4, caractérisé en ce que les coefficients sont déterminés par une loi mathématique dépendante du débit massique de fluide ou de la position du doseur.
- 5 6. Dispositif selon la revendication 4, caractérisé en ce que la matrice de gain de correction est une matrice de gain du filtre de Kalman (K) déterminée dynamiquement.
7. Dispositif selon la revendication 6, caractérisé en ce que la matrice de gain du filtre de Kalman est déterminée dynamiquement par l'utilisation de matrices relatives au bruit  
10 soumise à une adaptation continue de leurs coefficients.
8. Dispositif selon l'une des revendications précédentes, caractérisé en ce que la première entrée comprend en outre une valeur mesurée de la température du fluide (Tcarburant).  
15
9. Dispositif selon l'une des revendications précédentes, caractérisé en ce que la deuxième entrée comprend une valeur mesurée d'un différentiel de pression à travers le doseur de fluide ( $\hat{\delta P}_{\text{mesure}}$ ), les valeurs estimées comprennent une valeur estimée de ce différentiel de pression ( $\delta P_{\text{mesure}}$ ), le calculateur de résidus est apte à déterminer un  
20 troisième résidu ( $R_{\delta P}$ ), entre la valeur mesurée et la valeur estimée du différentiel de pression, le module de correction est apte à déterminer, à partir des premier, deuxième et troisième résidus, des corrections propres à être appliquées par le module d'estimation sur les variables d'état.
- 25 10. Procédé de détermination d'une mesure de débit massique de fluide pour chambre de combustion comprenant les étapes consistant à  
a- entrer une valeur de consigne ( $WF_{\text{consigne}}$ ) du débit massique demandé ou une valeur de consigne ( $X_{\text{consigne}}$ ) de la position du doseur demandée, et des variables d'état comprenant le débit massique réel ( $WF_{\text{réel}}$ ) et des incertitudes paramétriques (IP),  
30 b- déterminer, à partir de l'étape a-, des valeurs estimées comprenant la position estimée du doseur de fluide ( $\hat{X}_{\text{doseur}}$ ) et le débit massique ( $\hat{WF}_{\text{débitmètre}}$ ) estimé,  
c- mesurer le débit massique de fluide ( $WF_{\text{débitmètre}}$ ) à partir d'un débitmètre massique et la position du doseur de fluide ( $X_{\text{doseur}}$ ),  
d- calculer un premier résidu ( $R_{\text{doseur}}$ ) entre la position du doseur mesurée et la position  
35 du doseur estimée et un deuxième résidu ( $R_{\text{débitmètre}}$ ) entre le débit massique de fluide mesuré et le débit massique de fluide estimé,  
e- calculer, à partir des premier et deuxième résidus, des corrections et appliquer ces dernières aux variables d'état ( $WF_{\text{réel}}$ , IP).

11. Procédé selon la revendication 10, caractérisé en ce que l'étape b- consiste à utiliser un modèle dynamique à état liant la valeur de consigne avec les variables d'état et les valeurs estimées.
- 5 12 Procédé selon l'une des revendications 10 et 11, caractérisé en ce que le calcul de l'étape e- consiste à utiliser une matrice de gain de correction dont les coefficients sont fixes.
13. Procédé selon l'une des revendications 10 et 11, caractérisé en ce que le calcul de l'étape e- consiste à utiliser une matrice de gain de correction dont les coefficients sont  
10 variables.
14. Procédé selon la revendication 13, caractérisé en ce que l'étape e- consiste à déterminer les coefficients par une loi mathématique dépendante du débit massique de fluide ou de la position du doseur.  
15
15. Procédé selon la revendication 13, caractérisé en ce que la matrice de gain de correction de l'étape e- est une matrice de gain du filtre de Kalman (K) déterminée dynamiquement.
- 20 16. Procédé selon la revendication 15, caractérisé en ce que la matrice de gain du filtre de Kalman de l'étape e- est déterminée dynamiquement par l'utilisation de matrices relatives au bruit soumise à une adaptation continue de leurs coefficients.
17. Procédé selon l'une des revendications 10 à 16, caractérisé en ce que l'étape a-  
25 comprend en outre d'entrer une valeur mesurée de la température du fluide ( $T_{\text{carburant}}$ ).
18. Procédé selon l'une des revendications 10 à 17, caractérisé en ce que l'étape b- comprend en outre de déterminer une valeur estimée d'un différentiel de pression à travers le doseur de fluide ( $\hat{\delta P}_{\text{mesure}}$ ), l'étape c- comprend en outre de mesurer ce différentiel de  
30 pression ( $\delta P_{\text{mesure}}$ ), l'étape d- comprend en outre de calculer un troisième résidu ( $R_{\delta P}$ ) entre la valeur mesurée et la valeur estimée du différentiel de pression, l'étape e- comprend en outre de calculer, à partir des premier et deuxième résidus, des corrections et d'appliquer ces dernières aux variables d'état.

Fig.1

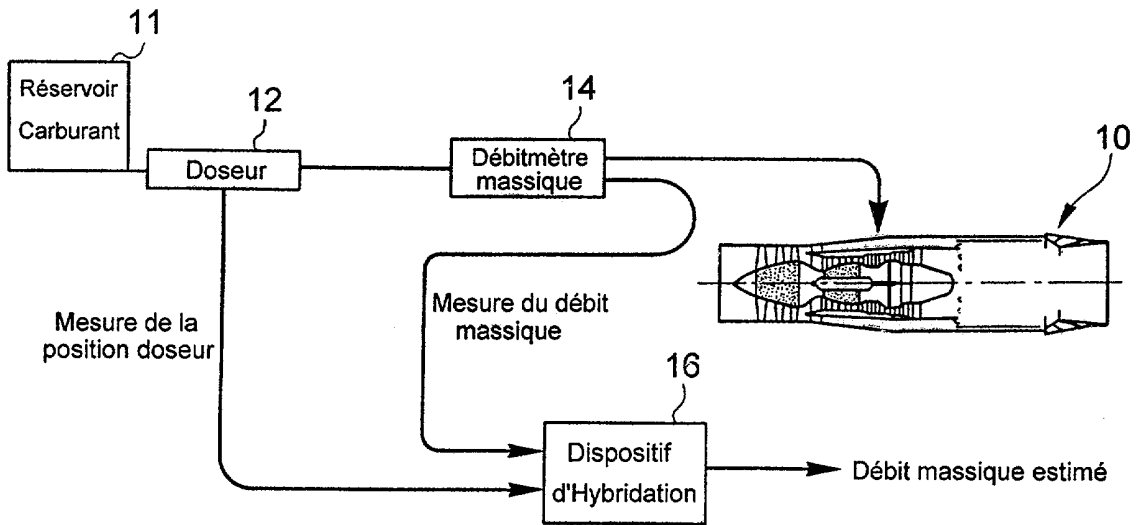
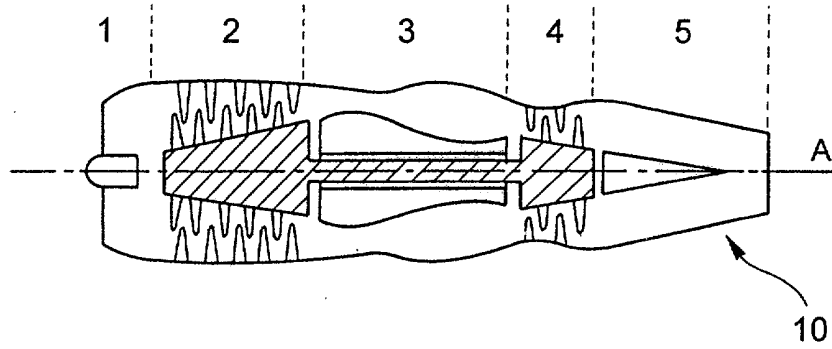


Fig.2

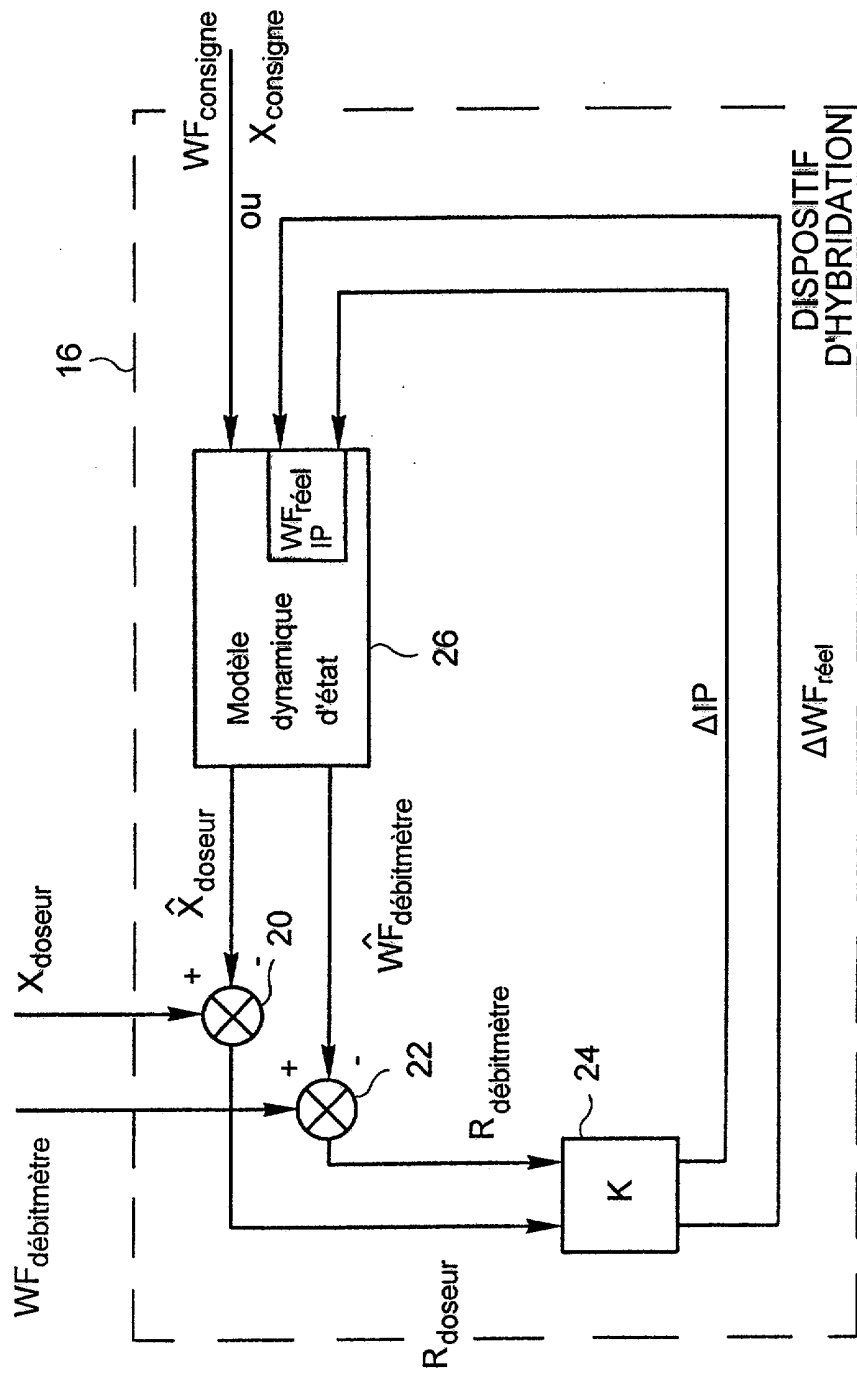


Fig.3

Fig.4

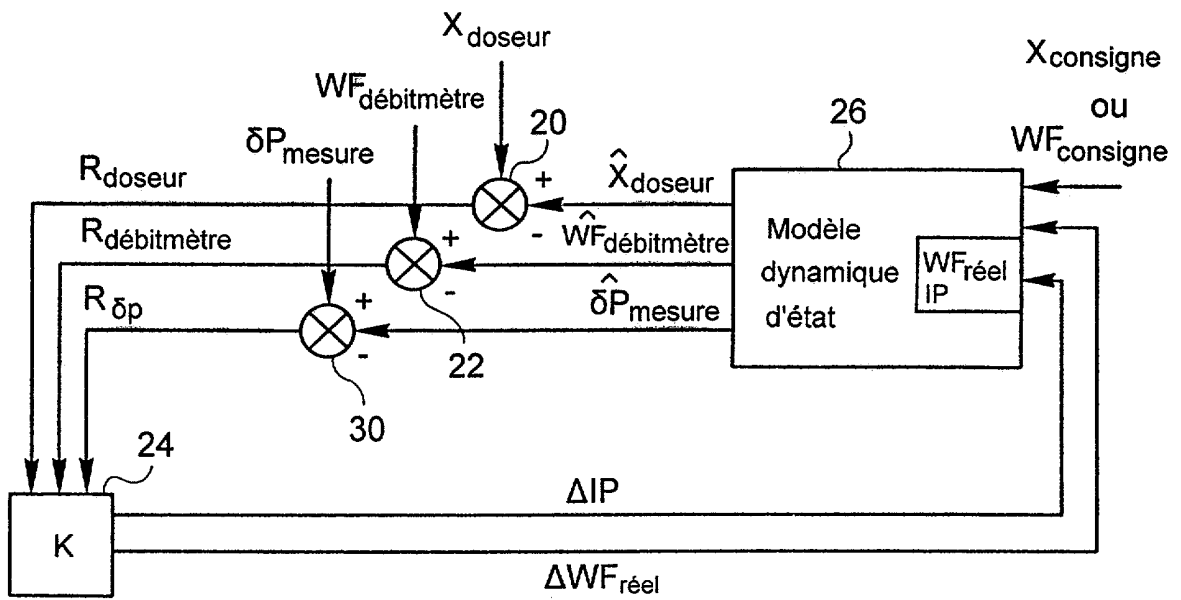
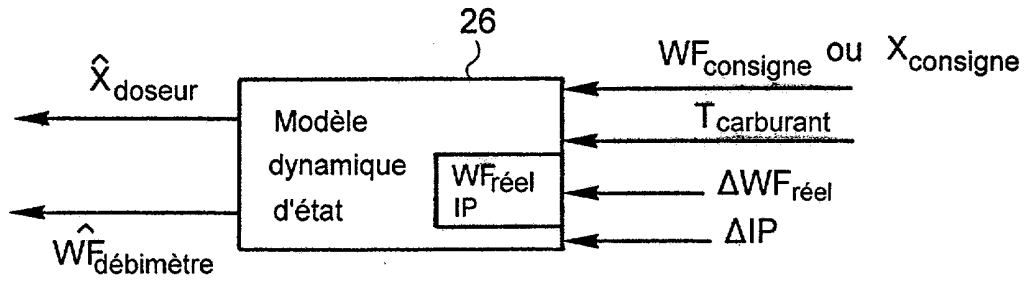
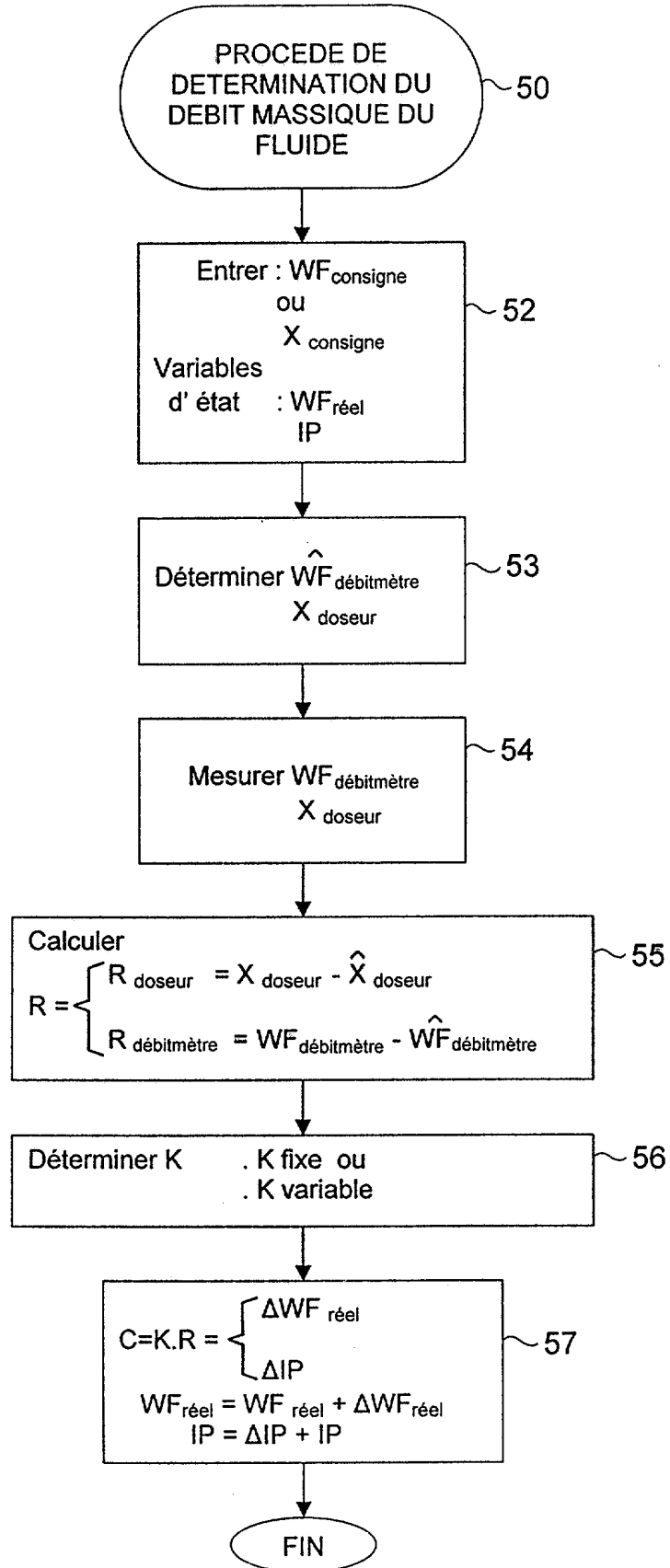


Fig.5

Fig.6



DOCUMENTS CONSIDÉRÉS COMME PERTINENTS		Revendication(s) concernée(s)	Classement attribué à l'invention par l'INPI
Catégorie	Citation du document avec indication, en cas de besoin, des parties pertinentes		
A	US 5 303 541 A (GOFF E. R. ET AL) 19 avril 1994 (1994-04-19) * abrégé; figures 1,2 * * colonne 4, ligne 34 - colonne 5, ligne 66 *	1,10	G01F1/86
A	----- US 6 148 601 A (JONES A. C. ET AL) 21 novembre 2000 (2000-11-21) * abrégé; figures 2,3 * * colonne 3, ligne 66 - colonne 5, ligne 8 *	1,10	
A	----- US 4 593 523 A (HAWES D.J.) 10 juin 1986 (1986-06-10) * abrégé; figures 1,2 * * colonne 6, ligne 17-29 * -----	1,10	
			DOMAINES TECHNIQUES RECHERCHÉS (Int.CL.7)
			G01F F02C
Date d'achèvement de la recherche		Examineur	
2 mars 2004		Vorropoulos, G	
CATÉGORIE DES DOCUMENTS CITÉS			
<p>X : particulièrement pertinent à lui seul  Y : particulièrement pertinent en combinaison avec un  autre document de la même catégorie  A : arrière-plan technologique  O : divulgation non-écrite  P : document intercalaire</p>			
<p>T : théorie ou principe à la base de l'invention  E : document de brevet bénéficiant d'une date antérieure  à la date de dépôt et qui n'a été publié qu'à cette date  de dépôt ou qu'à une date postérieure.  D : cité dans la demande  L : cité pour d'autres raisons</p>			
<p>.....  &amp; : membre de la même famille, document correspondant</p>			

2000010

**ANNEXE AU RAPPORT DE RECHERCHE PRÉLIMINAIRE  
RELATIF A LA DEMANDE DE BREVET FRANÇAIS NO. FR 0310106 FA 638949**

La présente annexe indique les membres de la famille de brevets relatifs aux documents brevets cités dans le rapport de recherche préliminaire visé ci-dessus.

Les dits membres sont contenus au fichier informatique de l'Office européen des brevets à la date du 02-03-2004

Les renseignements fournis sont donnés à titre indicatif et n'engagent pas la responsabilité de l'Office européen des brevets, ni de l'Administration française

Document brevet cité au rapport de recherche		Date de publication	Membre(s) de la famille de brevet(s)	Date de publication
US 5303541	A	19-04-1994	US 5274996 A	04-01-1994
			CA 2119246 A1	15-04-1993
			DE 69210620 D1	13-06-1996
			DE 69210620 T2	07-11-1996
			EP 0607265 A1	27-07-1994
			JP 3235066 B2	04-12-2001
			JP 7500166 T	05-01-1995
			WO 9307373 A1	15-04-1993
-----				
US 6148601	A	21-11-2000	EP 0996816 A1	03-05-2000
			WO 9958835 A1	18-11-1999
			ZA 9907772 A	11-01-2001
-----				
US 4593523	A	10-06-1986	BR 8108162 A	28-09-1982
			CA 1177264 A1	06-11-1984
			EP 0054501 A1	23-06-1982
			JP 57124031 A	02-08-1982
-----				